

2021~2022 学年第一学期高一期末模拟练习(二)

地 理 试 题

命题人：陈学耘

审核人：李学忠

班级：_____ 姓名：_____ 学号：_____ 日期：_____

一、单项选择题：

据报道，截至2021年当地时间10月27日，西班牙拉帕尔马岛火山已持续剧烈喷发超过一个月的时间，喷出了大量熔岩流和气体，随着火山灰的扩散，该地区上空弥漫大量烟雾。下图是该火山喷发景观，据此完成1~2题。

1. 人们一般认为，该火山喷出的大量熔岩流和气体最初源地最可能位于()

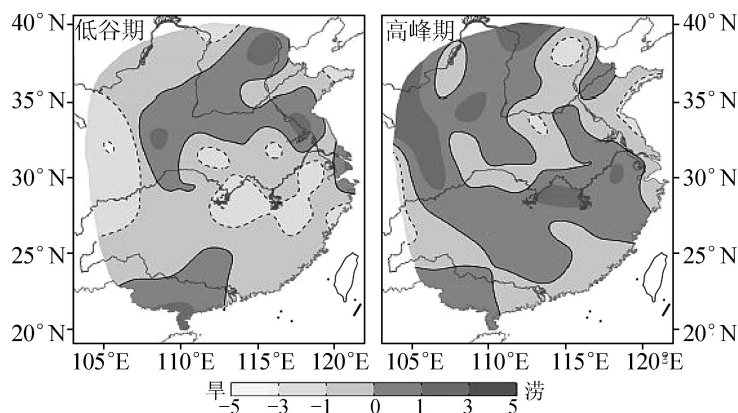
- A. 地壳 B. 地幔
C. 地核 D. 岩石圈

2. 持续一个多月的大量火山灰在空中漂浮，其产生的影响说法正确的是()

- A. 地面辐射增强 B. 大气逆辐射减弱
C. 加剧全球变暖 D. 减缓全球变暖



根据欧洲太阳黑子研究中心推测，2020年为太阳黑子低谷期。太阳黑子不活跃，对全球气候产生了影响。下图为太阳活动异常期中国东部旱涝统计示意图。据此完成3~4题。



3. 在太阳活动的低谷期()

- A. 地球的气温会逐渐升高 B. 极地附近的极光减少
C. 我国东部旱涝灾害减少 D. 无线电通信信号中断

4. 据图推测，再过5~6年，我国东部()

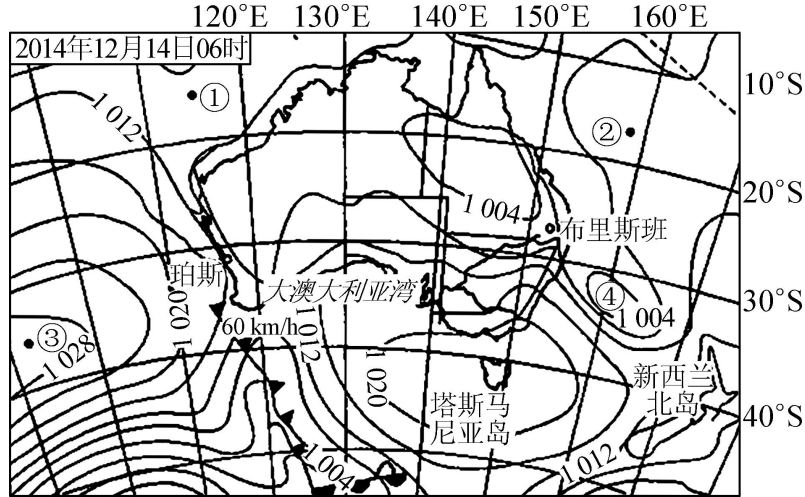
- ① 降水明显增加 ② 降水明显减少 ③ 涝灾发生次数增多 ④ 旱灾发生次数增多
A. ①③ B. ①④ C. ②③ D. ②④

下表为某地理兴趣小组在某次野外考察中依次记录的5个地表观测点信息。依据表中信息完成5~6题。

观测点	①	②	③	④	⑤
海拔(米)	541	492	683	645	572
地层中的化石	恐龙蛋	三叶虫	被子植物	被子植物	裸子植物

5. 本次考察的主要内容是()
 A. 地质地貌 B. 土壤 C. 气候 D. 水文
6. 下列各地层形成时为海洋环境的是()
 A. ① B. ② C. ③ D. ⑤

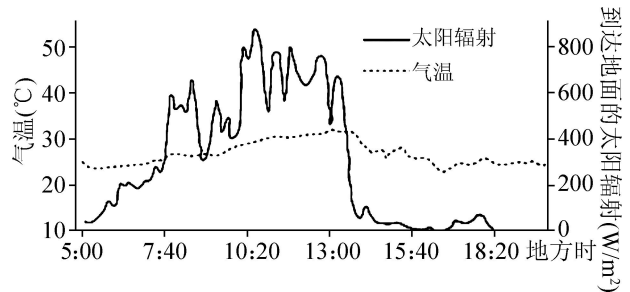
下图示意澳大利亚附近区域天气形势，天气系统运行速度如图。读图完成7~8题。



7. 此时，①、②、③、④海域，渔船航行风浪危险性最大的是()
 A. ① B. ② C. ③ D. ④
8. 一天之内，可能出现的天气现象是()
 A. 澳大利亚大陆寒冷干燥 B. 大澳大利亚湾降温、阴雨
 C. 珀斯雨后气温升高、气压降低 D. 布里斯班吹拂偏北风

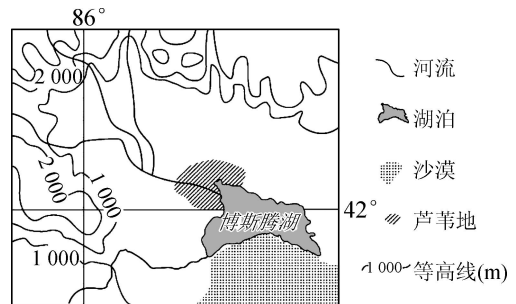
下图为我国某地太阳辐射和气温的变化统计图。读图完成9~10题。

9. 该日天气特征可能是()
 A. 上午多云，午后转晴朗
 B. 上午多云，午后转阴雨
 C. 上午晴朗，午后转阴雨
 D. 上午阴雨，午后转多云
10. 该日大气逆辐射最强的时刻大约是()
 A. 5:00 B. 10:20 C. 13:45 D. 18:20

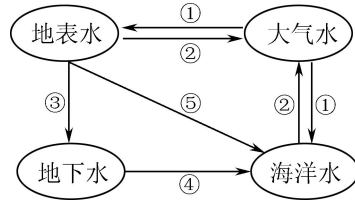


由于沙漠戈壁和湖泊对太阳辐射的反射率不同，在白昼阳光辐射下，沙漠戈壁干燥地面强烈增温，通过大气的环流作用，暖空气被带到湖泊上空，形成一个上热下冷的逆温层，上下层空气间的热交换难以进行，下层冷空气得以保持稳定，因而形成一个湿润、凉爽的小气候。这种现象就称之为“冷湖效应”。读图完成11~12题。

11. “冷湖效应”最显著的时段是()
 A. 1月上旬 B. 7月午后
 C. 10月中旬 D. 4月傍晚
12. 在博斯腾湖的“冷湖效应”作用下，可能导致()
 A. 沙漠戈壁近地面形成高压
 B. 风从沙漠戈壁吹向湖泊
 C. 沙漠戈壁与湖泊降水增多
 D. 冷空气沉积在湖泊上面



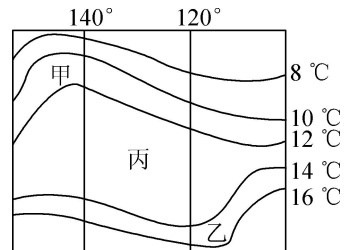
我国的气候干旱地区，农民在耕作土壤表面铺设 10~15 cm 的砂石覆盖层，发展农作物种植，这就是砂田。左图为水循环示意图，图中数字代表水循环环节。右图为宁夏砂田景观图。读图完成 13~14 题。



13. 砂石覆盖对水循环环节的影响是()
 A. ①增加 B. ②增加 C. ③增加 D. ⑤增加
14. 水循环()
 A. 只能使外流区的一部分水体不断更新 B. 促使物质不断从陆地向海洋单向迁移
 C. 可缓解不同纬度地区热量收支不平衡 D. 使水资源在任何时候都能够取之不尽

下图为某海区海水等温线分布图。据此完成 15~16 题。

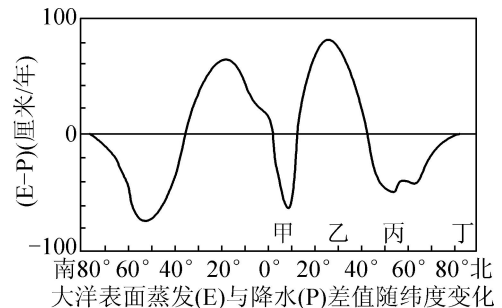
15. 甲、乙两处等温线弯曲是由于受洋流影响，则()
 A. 甲、乙都是暖流
 B. 甲、乙都是寒流
 C. 甲是寒流，乙是暖流
 D. 甲是暖流，乙是寒流



16. 关于图中丙区域说法正确的是()
 A. 若出现污染，净化速度很快 B. 可能形成大渔场
 C. 会形成水障 D. 水温较高

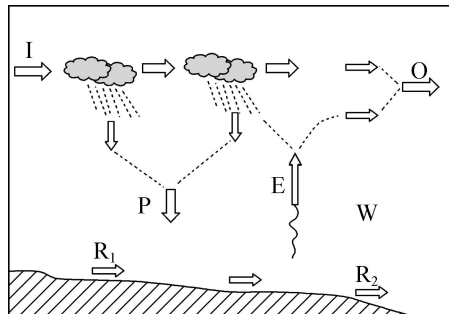
下图是“大洋表面蒸发(E)与降水(P)差值随纬度变化图”。读图完成 17~18 题。

17. 甲、乙、丙、丁海区中，乙海区表层海水()
 A. 盐度最低 B. 盐度最高
 C. 密度最小 D. 密度最大
18. 甲、乙、丙、丁各海区，大气对流运动最强的是()
 A. 甲 B. 乙
 C. 丙 D. 丁



下图为水循环模式图，I 为区域外水汽输入量

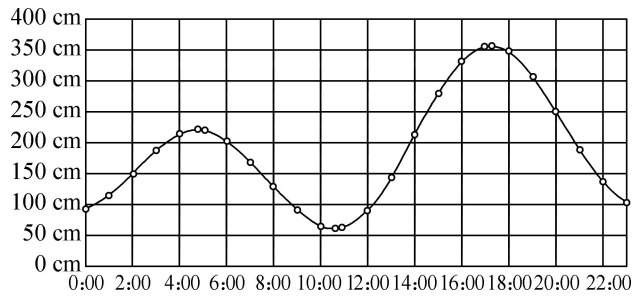
P 为总降水量，E 为区域内蒸发量，O 为从区域输出的水汽总量， R_1 为流入区域的径流量， R_2 为流出区域的径流量，W 为空中水汽含量。据此完成 19~20 题。



19. 读图可知()
 A. $I = P + E - W$
 B. $R_2 = I + R_1 - O$
 C. $O = I + R_2 - E$
 D. $W = I + E - P$
20. 若某地区降水量呈增加趋势，原因可能有()
 ① 外来水汽输送增加 ② 流出本地区径流量增加
 ③ 本地区蒸发量增加 ④ 水循环速度加快 ⑤ 水汽含量减少
 A. ①②③ B. ②④⑤ C. ③④⑤ D. ①③④

潮汐时刻表能够反映不同时刻的潮水高度，是船舶进出港口的重要依据。2020年6月20日某海洋运输船来到中国辽宁省锦州港，该船是符合进港条件的最大吨位船舶。下图表示锦州港当日的潮汐时刻表。据此完成21~22题。

21. 据图可知()
- A. 潮汐每天一次涨潮、一次落潮
 B. 涨潮最高是出现在日出前后
 C. 潮汐是深层海水最基本的运动形式之一
 D. 落潮最低是在上午10时前后
22. 此日，这艘船舶要进港卸货，最合理的进港时间是()



- A. 6时 B. 11时 C. 17时 D. 21时

树木年轮的宽窄变化具有周期性，图1为温带乔木年轮照片，图2为太阳黑子相对数与温带乔木年轮宽度相关性曲线图。读图完成23~24题。



图1

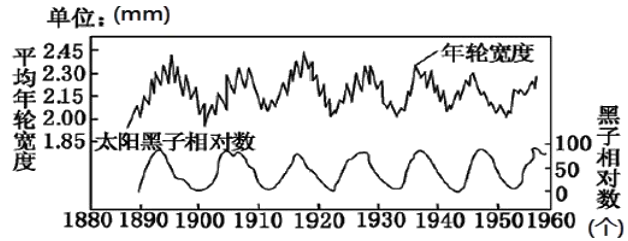


图2

23. 据图推测树木年轮的宽窄变化周期可能为
- A. 6年 B. 11年 C. 16年 D. 21年
24. 树木年轮出现宽窄变化的主要影响因素是
- A. 风力强弱 B. 海拔高低 C. 水热条件 D. 土壤肥力

2020年10月，英国古生物学家在蒙古戈壁沙漠中发现一组保存完好的新品种恐龙化石。该恐龙是杂食性动物，生活在6800万年前。图3为其复原图。读图完成25~26题。



图3

25. 推断该恐龙生活的地质年代最可能是
- A. 古生代志留纪 B. 中生代侏罗纪
 C. 中生代二叠纪 D. 新生代第四纪
26. 关于该地质年代发生的地质事件，叙述正确的是
- A. 被子植物繁荣 B. 95%的生物灭绝
 C. 金属矿产成矿 D. 盘古大陆形成

某校同学设计了风力作用的模拟实验：用吹风机在长1.2米的硬纸箱中吹一捧颗粒混杂的沙石。吹风机开启后，纸箱附近尘土飞扬，吹风机关闭后，箱内外均有沙石分布。图4为模拟实验过程的照片。读图完成27~28题。



实验前

实验后

图4

27. 该实验模拟的是
 A. 搬运、沉积 B. 下蚀、沉积 C. 风化、沉积 D. 风化、侵蚀
28. 该实验结束后，发现存在水平方向上颗粒粗细分选不明显的现象，下列改进建议可行的是
 A. 缩短纸箱的长度 B. 在室外有风的地点进行实验
 C. 增加纸箱中沙石量 D. 使用颗粒大小一致的沙石

2020年12月17日，“嫦娥五号”返回舱在距地面高度约120km处高速进入地球大气层，实施初次气动减速。下降至预定高度后，返回器向上跃出大气层。之后，返回舱再次进入大气层，实施二次气动减速，在距地表50km的高度返回舱与大气层激烈摩擦。图5示意“嫦娥五号”探测器返回路径。读图完成29~30题。

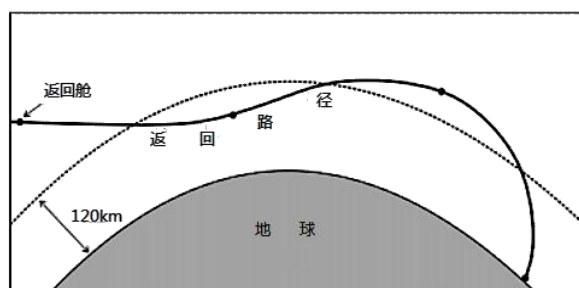


图5

29. “嫦娥五号”初次进入大气层进行减速时位于
 A. 对流层 B. 平流层 C. 臭氧层 D. 高层大气
30. “嫦娥五号”在距地表50km降落至地面过程中气温的变化是
 A. 持续降低 B. 先降低，后升高 C. 持续增高 D. 先升高，后降低

图7为8月世界海洋表层海水平均温度分布图(°C)。读图完成31~32题。

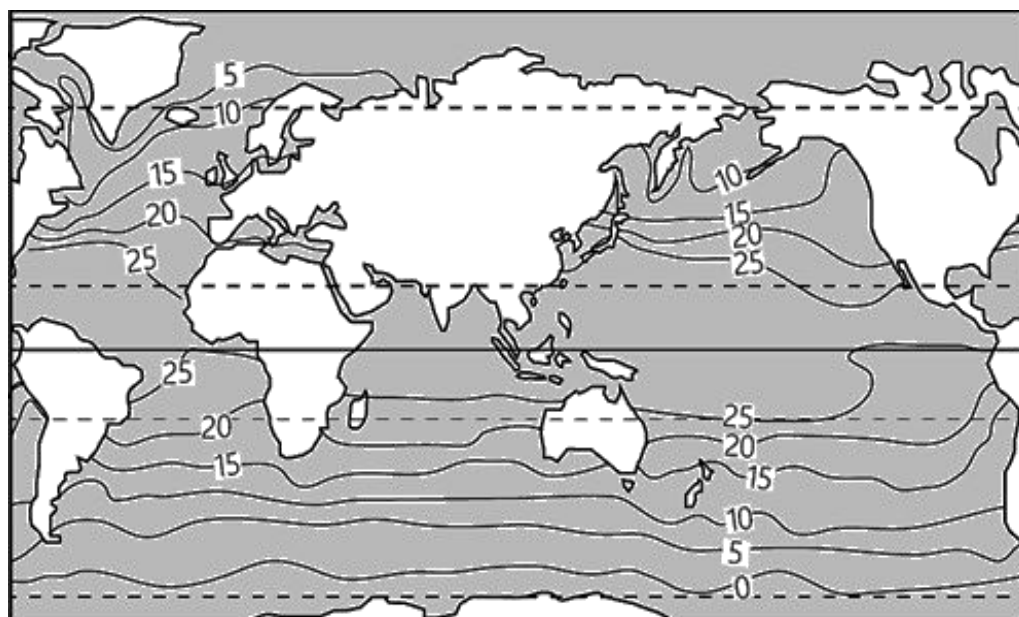


图7

31. 一般来说，8月世界海洋表层水温分布特点是
 A. 高纬度海区水温高于低纬度海区 B. 相同纬度海区水温不一定相同
 C. 大洋西部的水温都低于大洋东部 D. 南北半球副热带海区水温最高
32. 影响南半球等温线分布较北半球平直的主要因素是
 A. 海陆分布 B. 洋流 C. 地形 D. 纬度

土壤是各种要素共同作用的产物，人类活动在土壤的形成过程中也起着重要作用。图8为海南岛土壤类型分布示意图。读图完成33-34题。

33. II、III、IV、V土壤共同特点是

- A. 淋溶作用较弱
- B. 微生物活动弱
- C. 有机物积累少
- D. 矿物养分流失慢

34. 水稻土是人类活动培育的肥沃高产土壤，主要是由于人类活动

- A. 降低成土母质的厚度
- B. 补充矿物和有机养分
- C. 加快岩石的风化速度
- D. 提高植物群落复杂性

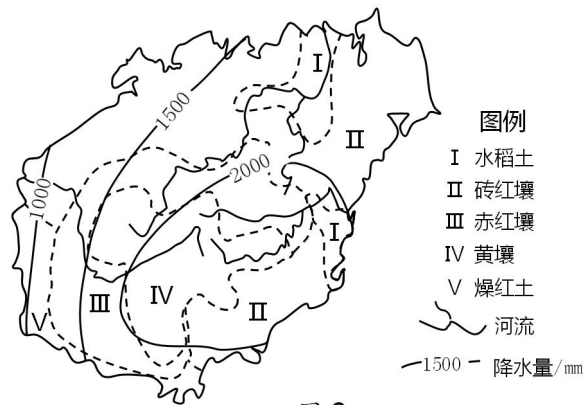


图8

下图为中央气象台2019年8月10日9时发布的今年9号台风“利奇马”的位置及移动路径示意图，据此完成下面小题。

35. 台风“利奇马”的能量主要来源于（ ）

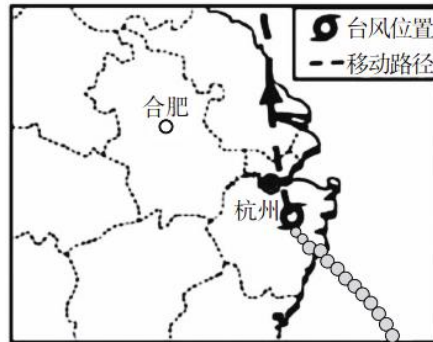
- A. 地热能
- B. 潮汐能

36. 受台风“利奇马”影响，受灾山区易发生的地质灾害是（ ）

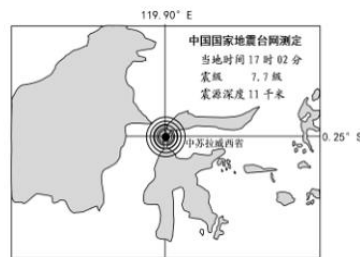
- A. 风暴潮
- B. 洪水

37. 此次超强台风“利奇马”来袭，杭州居民的应对措施合理的是（ ）

- A. 躲到树下，遮风挡雨
- C. 清除障碍，加强通风



当地时间2018年9月28日印度尼西亚发生地震，随后引发1.5米至2米高的海啸，造成人员伤亡和财产损失。图甲为本次地震位置示意图，图乙为本次海啸示意图。读图回答下列各题。



图甲



图乙

38. 此次地震造成重大损失主要原因是

- ①震级大、震源深
- ②熟睡时间，防范意识薄弱
- ③建筑物抗震性能差
- ④道路崎岖，救援不力

- A. ①②
- B. ②③
- C. ①④
- D. ③④

39. 对海啸灾害，合理有效的防灾减灾措施是

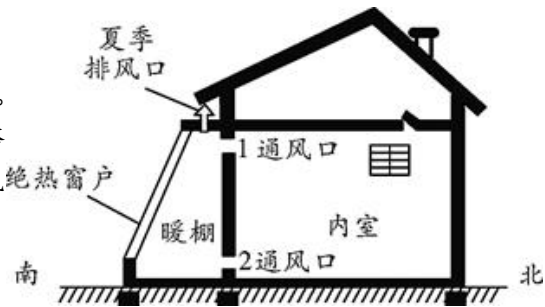
- ①建立海啸监测预警系统
- ②加强海啸应急逃生演练
- ③围海造陆增高海岸堤防
- ④将人们迁至内陆居住

- A. ①②
- B. ②③
- C. ①④
- D. ③④

二、综合题:

40. 阅读图文材料, 完成下列问题。

材料 云南香格里拉位于青藏高原东南部, 海拔约 3300 米, 这里太阳辐射强, 但气温较低。当地居民高效利用太阳能, 在房屋南侧用玻璃搭建绝热暖棚, 暖棚通过通风口与内室形成循环气流, 使内室增温。下图示意香格里拉房屋模型。



(1) 分析香格里拉太阳辐射强, 但气温低的原因。

(2) 说明暖棚内温度较高的原因。

(3) 运用热力环流原理, 阐述暖棚通过 1、2 两个通风口使内室增温的过程。

41. 阅读图文材料, 回答下列问题。

材料一: 一位到澳大利亚旅游过的游客在日记中写道: 这里的十二使徒岩(下图所示), 仿如哨兵一样站立在陡峭的石灰岩悬崖之前, 守卫着澳大利亚大陆。其实它们是海边一组十二块各自独立的岩石, 其数量及形态恰巧酷似耶稣的十二使徒, 因此就以圣经故事里的这“十二使徒”命名。这些宛如“十二使徒”的石柱群, 是大自然造就出的“海岸雕塑”。年复一年, 日复一日, 随着岁月的洗礼, 原来的十二使徒现在只余下八个。

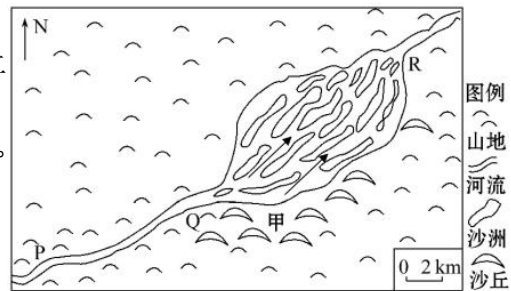


材料二: 下图所示为西藏雅鲁藏布江某段(自西南流向东北), 该段河流所在河谷年降水量仅 140mm, 冬季盛行偏北风。

(1) 据下面短文, 填写相关内容, 完成对“十二使徒岩”形成过程的描述。

“十二使徒岩”形成于海浪的_____作用。在过去的 1000 万到 2000 万年中, 来自南部大洋的风暴和大风卷起巨浪, 不断地侵蚀相对松软的石灰岩悬崖, 并在其上形成了许多洞穴, 这些洞穴不断被侵蚀变大, 以致发展成海蚀_____,

后来其顶部在海浪侵蚀下发生倒塌, 形成_____, 其外侧的岩石最终与海岸岩体分离形成“十二使徒岩”。



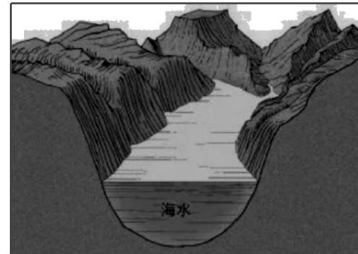
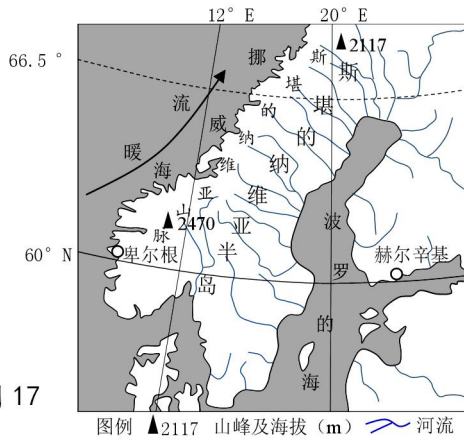
(2) 与图 a 比较, 指出图 b 的明显变化, 其变化的自然原因是_____。

(3) 据材料推测, PQ、QR 两河谷中, 流速较快的是_____。

(4) 试分析甲地沙丘形成过程: _____。

42. 阅读材料，回答下列问题。

斯堪的纳维亚半岛大部分地区分布着针叶林，半岛西侧海岸是世界上峡湾地貌最典型的分布区域。图 17 示意北欧部分区域图。图 18 为峡湾地貌景观。

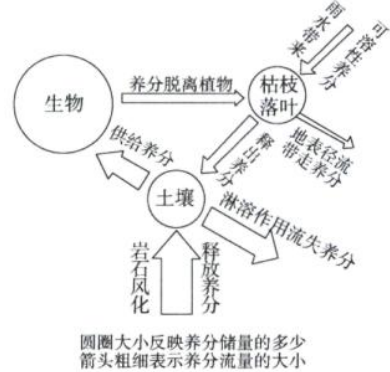


- 针叶林具有树种构成单一、群落结构_____的特点，其树叶缩小为针状的主要作用是_____。
- 峡湾地貌的景观特征有海岸线_____（曲折/平直）、两侧岸壁_____（陡峭/平缓），谷底_____（宽/窄），海水深度大。
- 波罗的海的海水含盐度约为 7%~8%，远低于世界海水的平均含盐度，试分析其原因。

43. 阅读图文资料，回答问题。

棕壤是发育于暖温带湿润气候区落叶林下的土壤，其土层呈鲜棕色，有机质含量高。在我国主要分布于中国辽东半岛、山东半岛等地区，所处地形主要为低山丘陵，成土母质多为花岗岩、片麻岩及页岩的风化产物。

亚马孙平原的热带雨林地区的土壤为砖红壤，有机质含量非常低，呈酸性、黏重。早期欧洲殖民者在巴西亚马孙河流域发现，当地印第安人在一种与自然土壤迥异的黑色土壤上耕作。据研究，这种黑色土壤是人工土壤，主要成分是生物炭（让木材、稻草或者农作物废弃物在缺氧的环境下燃烧，得到的物质就是生物炭）。下图为“热带雨林生态系统的养分循环示意图”。



- 说出棕壤形成的主要影响因素。
- 据图分析亚马孙热带雨林地区土壤贫瘠的原因。
- 简述当地印第安人用生物炭改良土壤的作用。